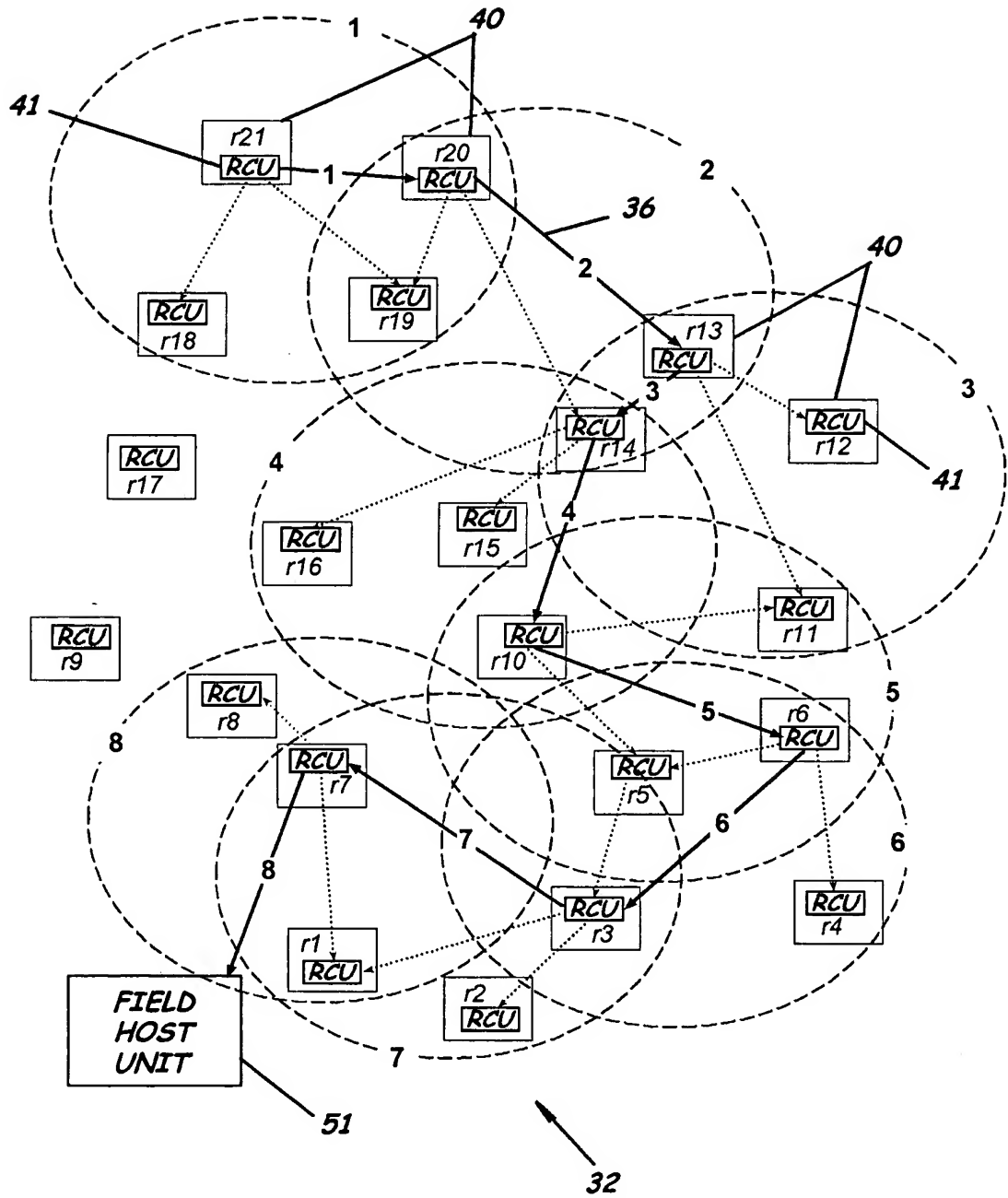
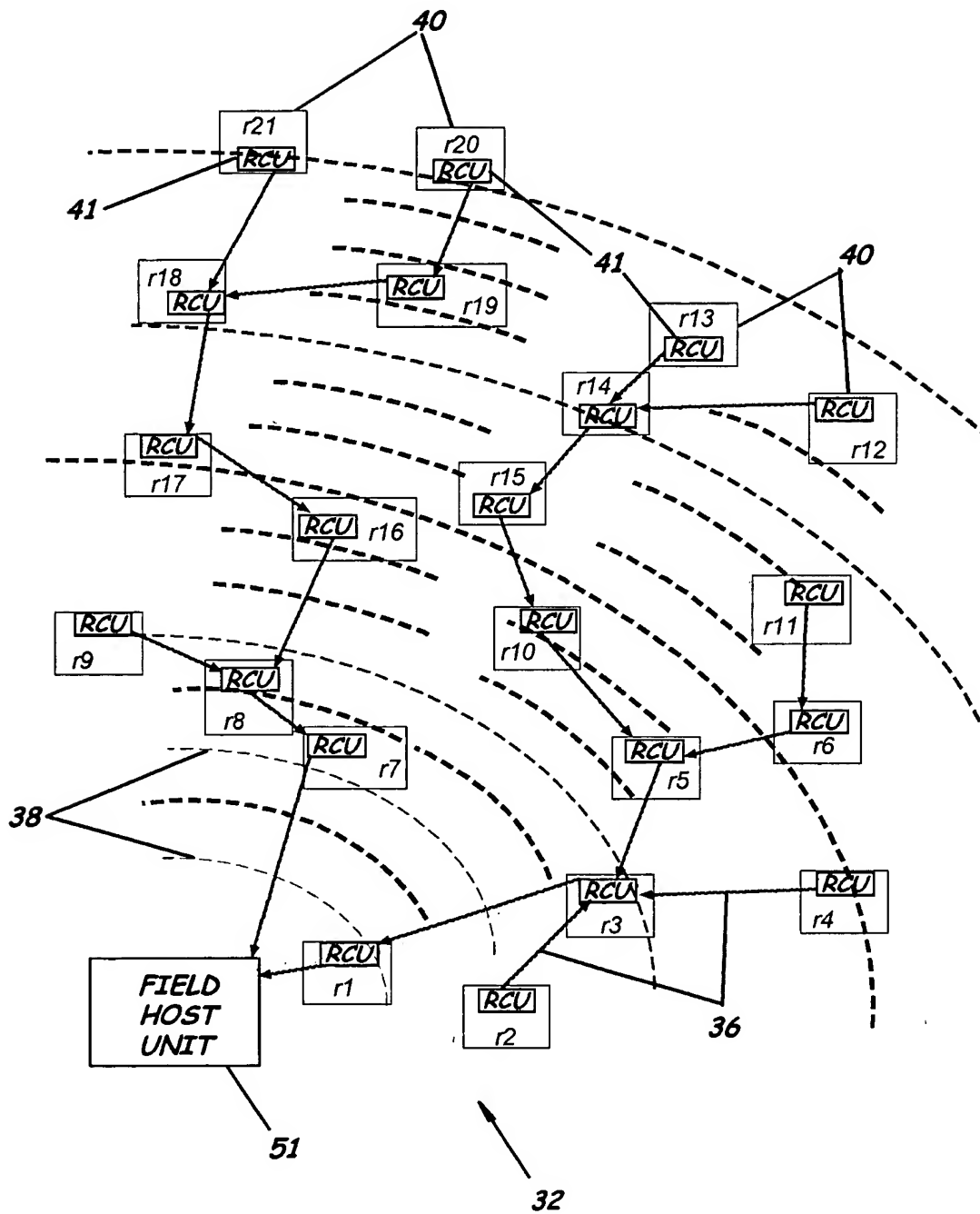


FIG. 2.

FIG. 3.



**FIG. 4.**

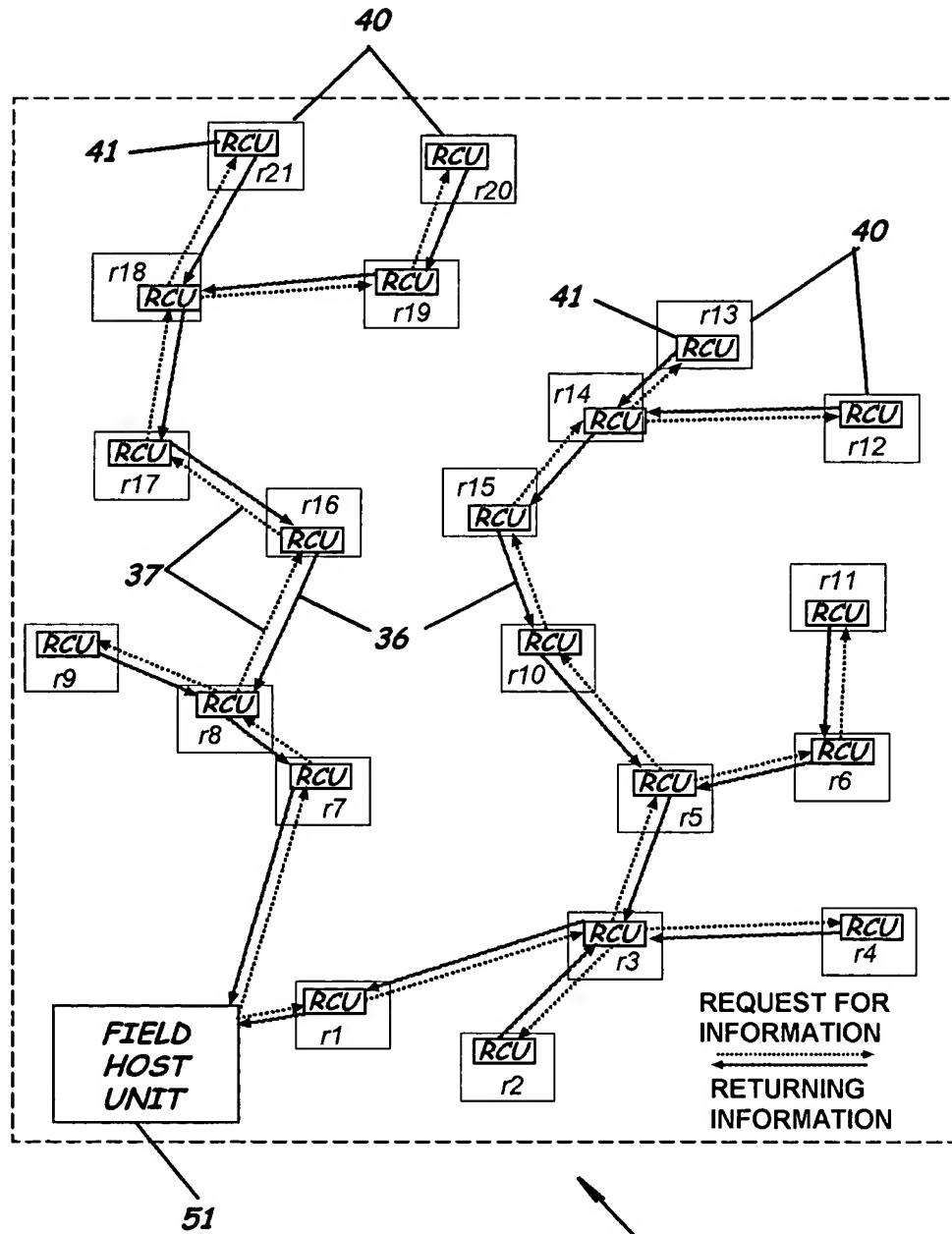


FIG. 5.

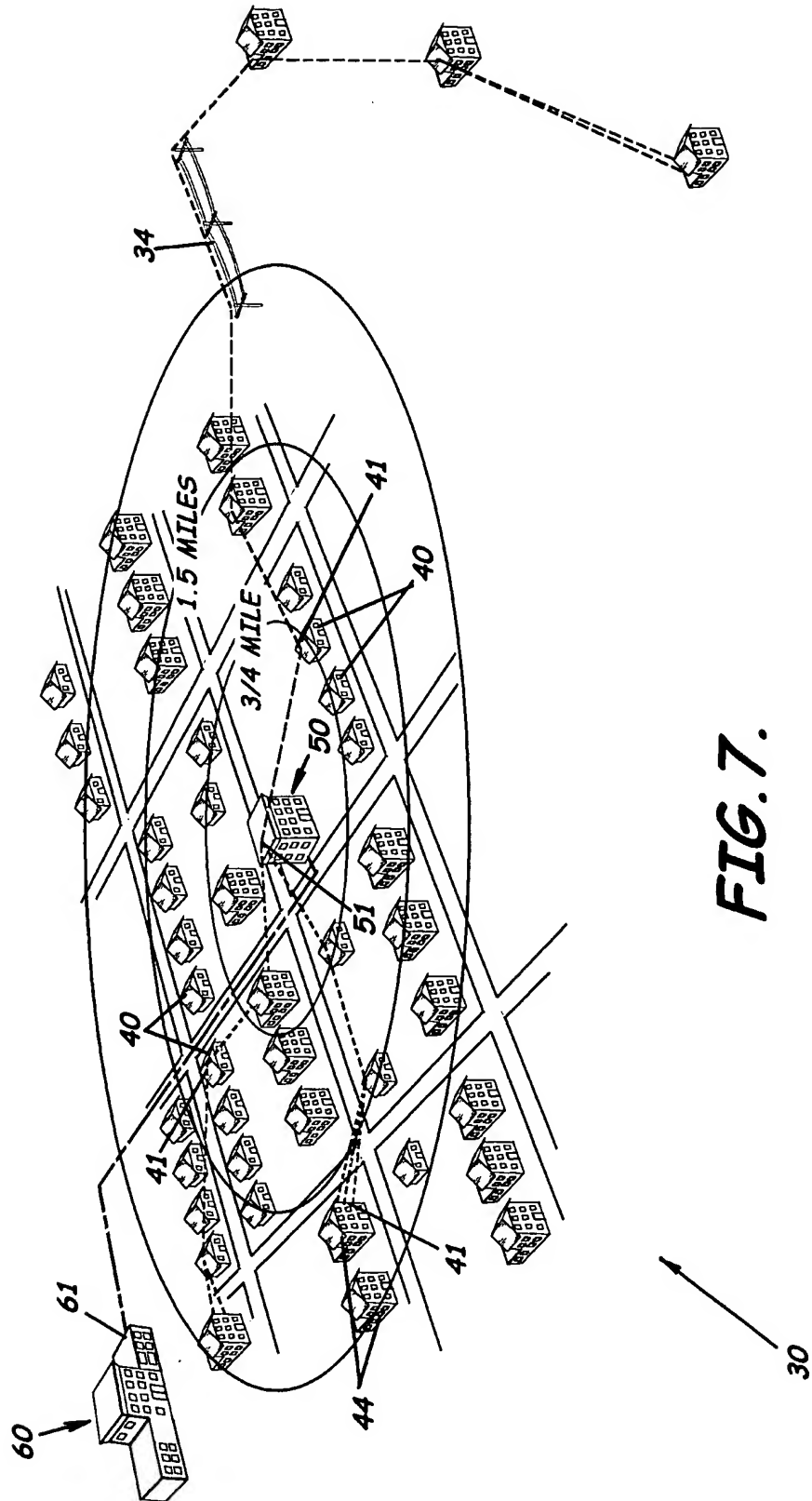


FIG. 7.

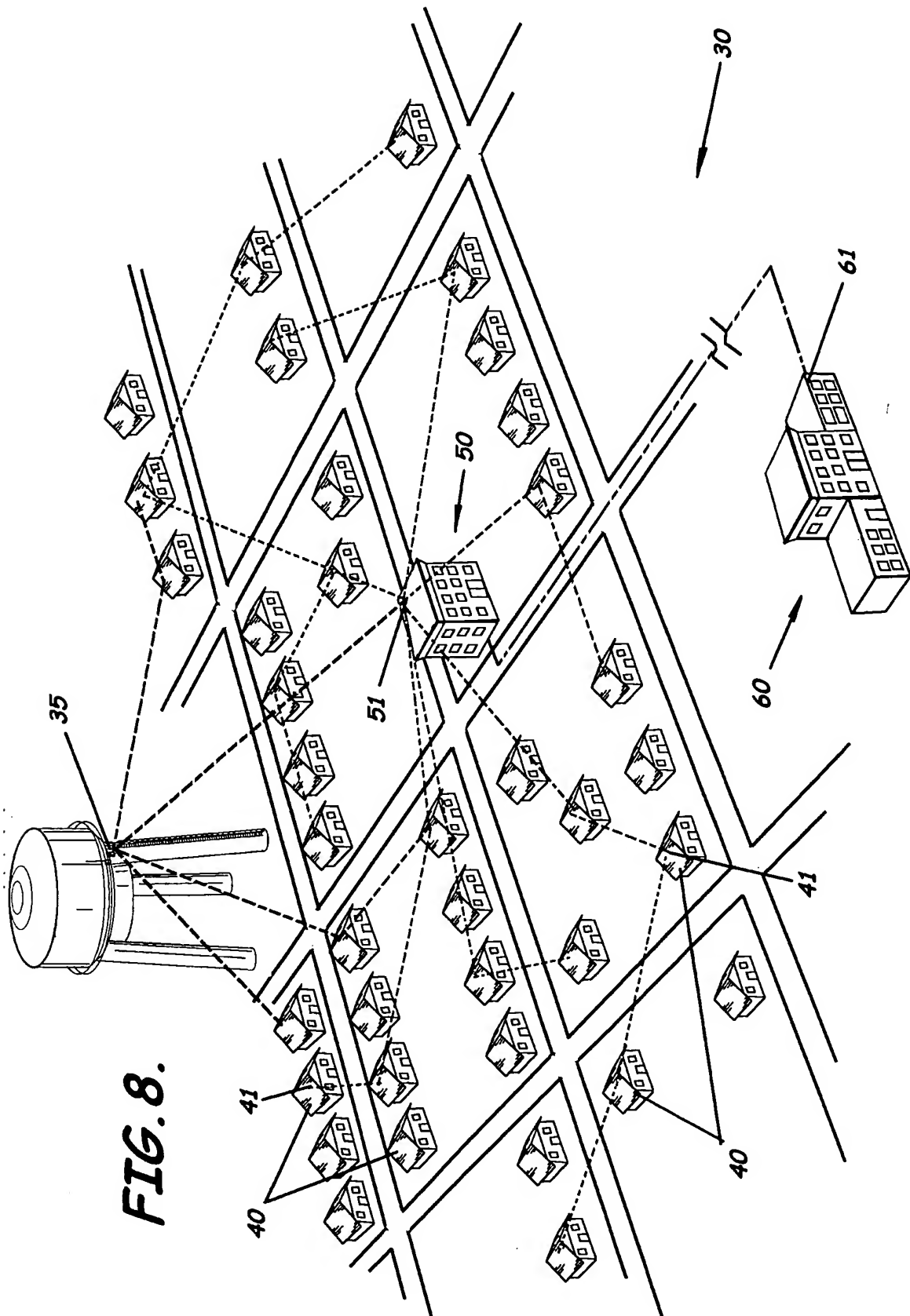


FIG. 8.

9/19

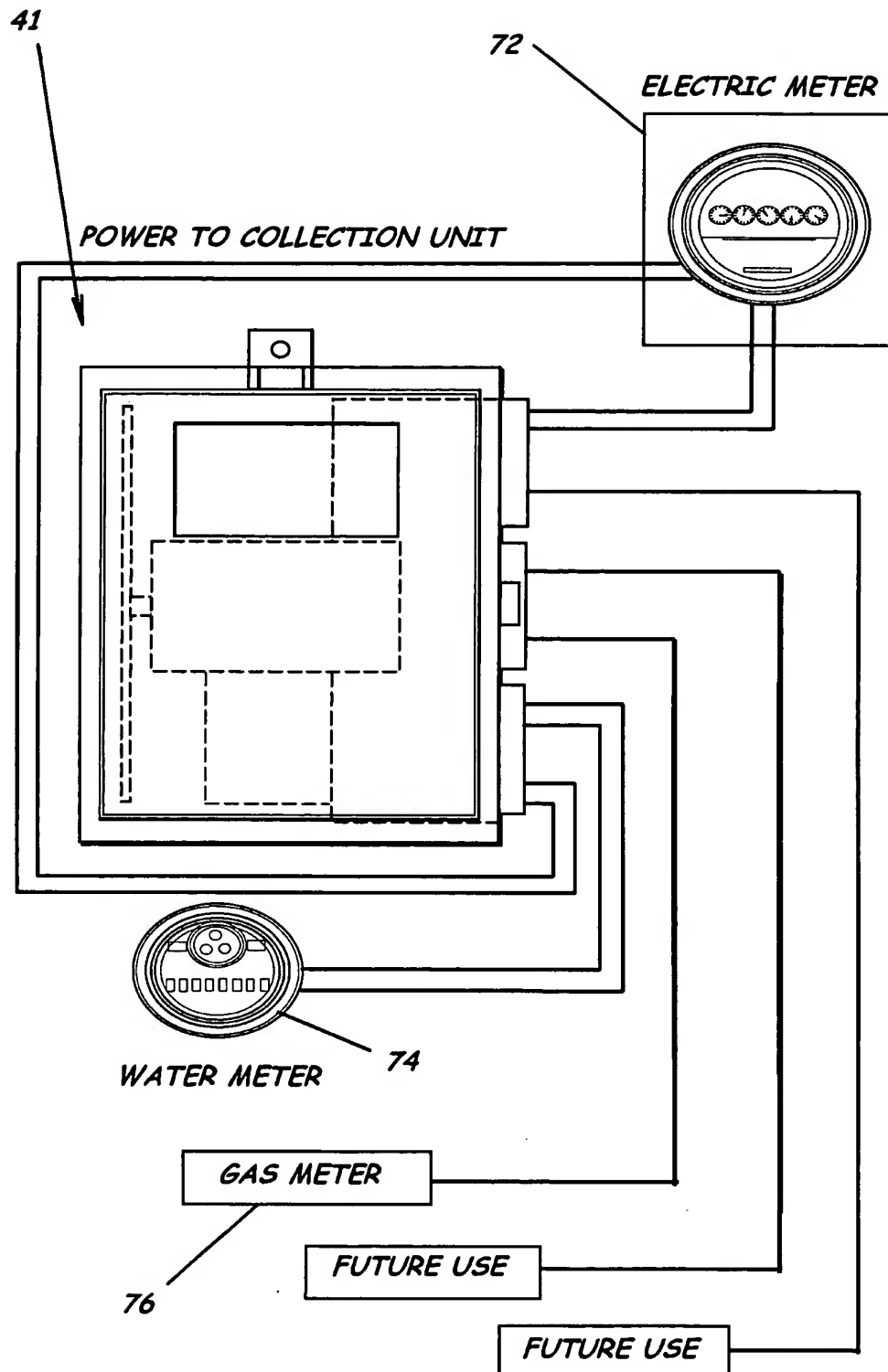


FIG. 9.

10/19

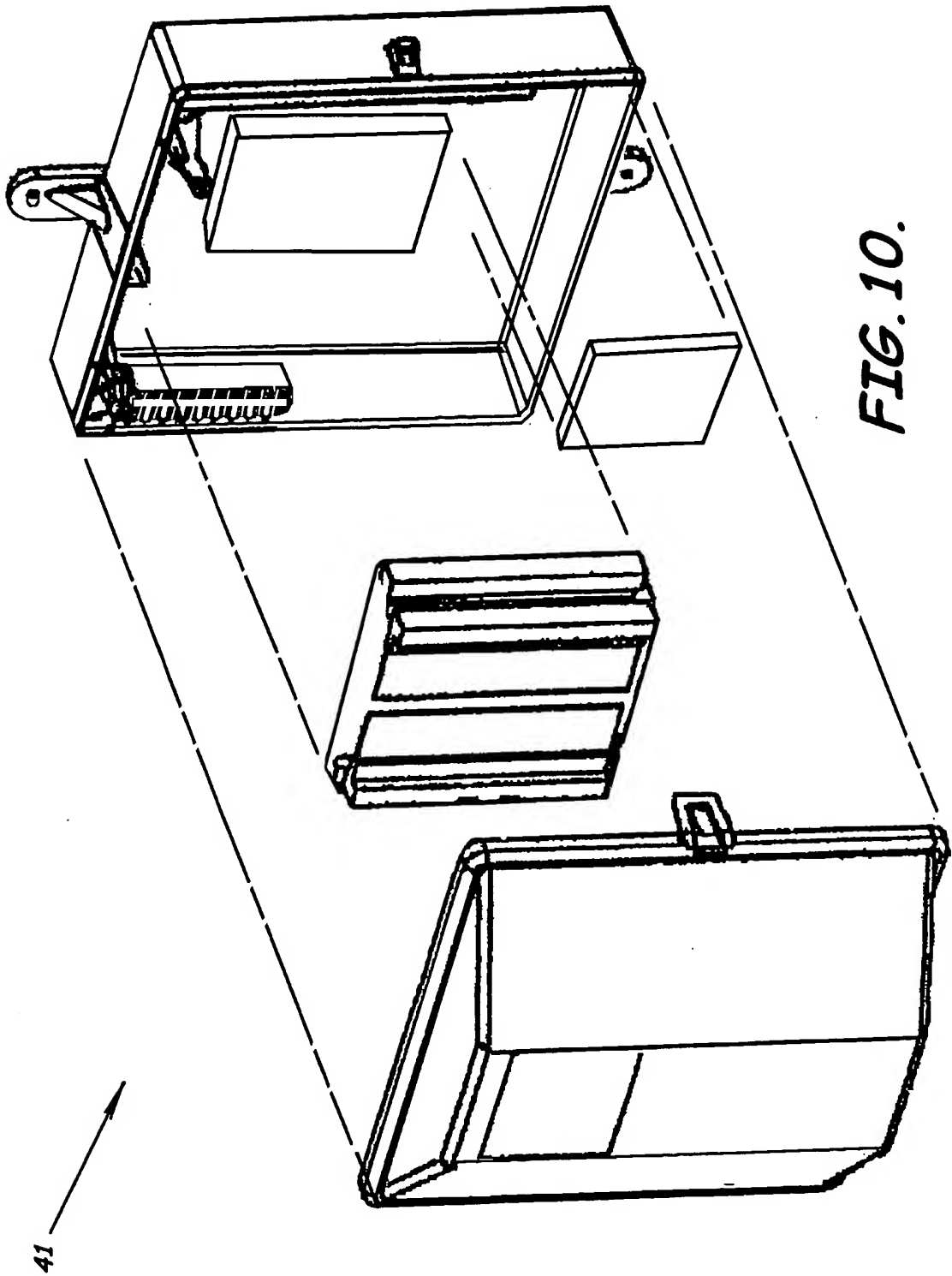


FIG. 10.

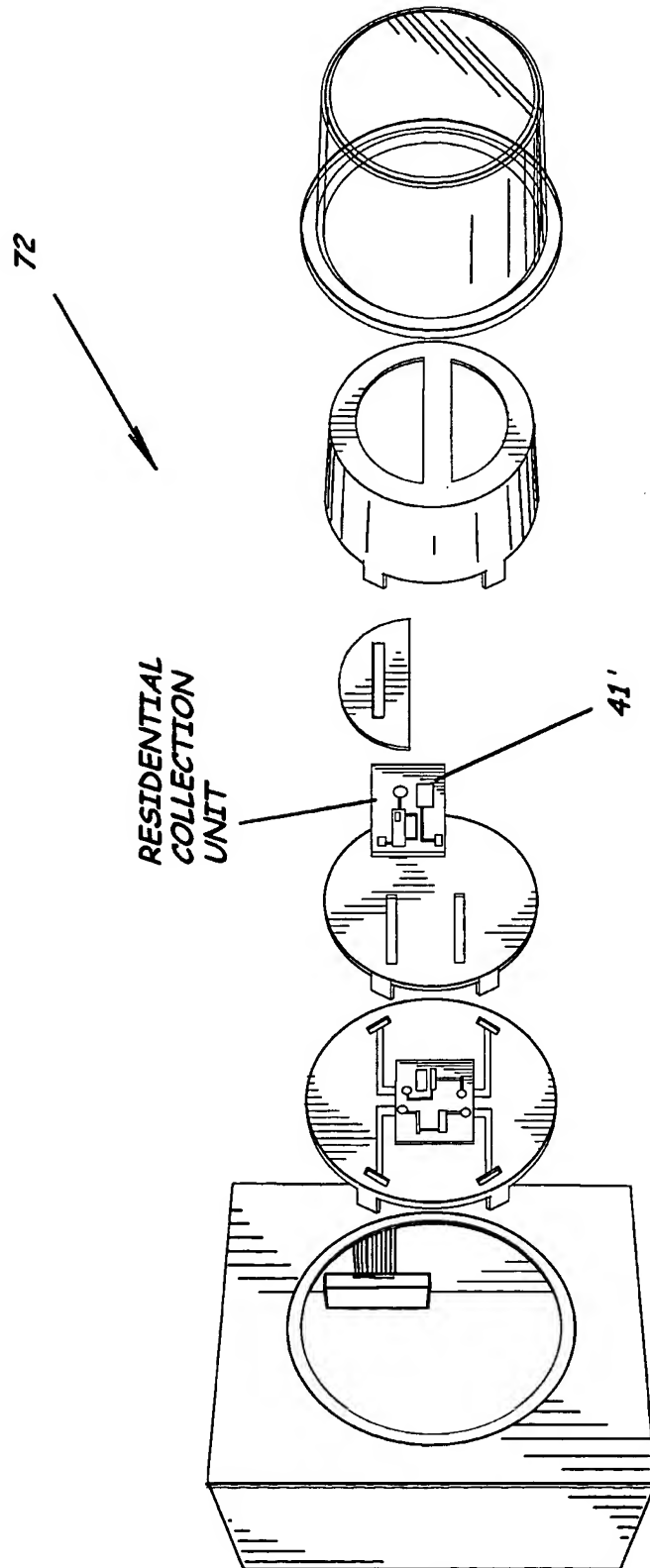


FIG. 11.

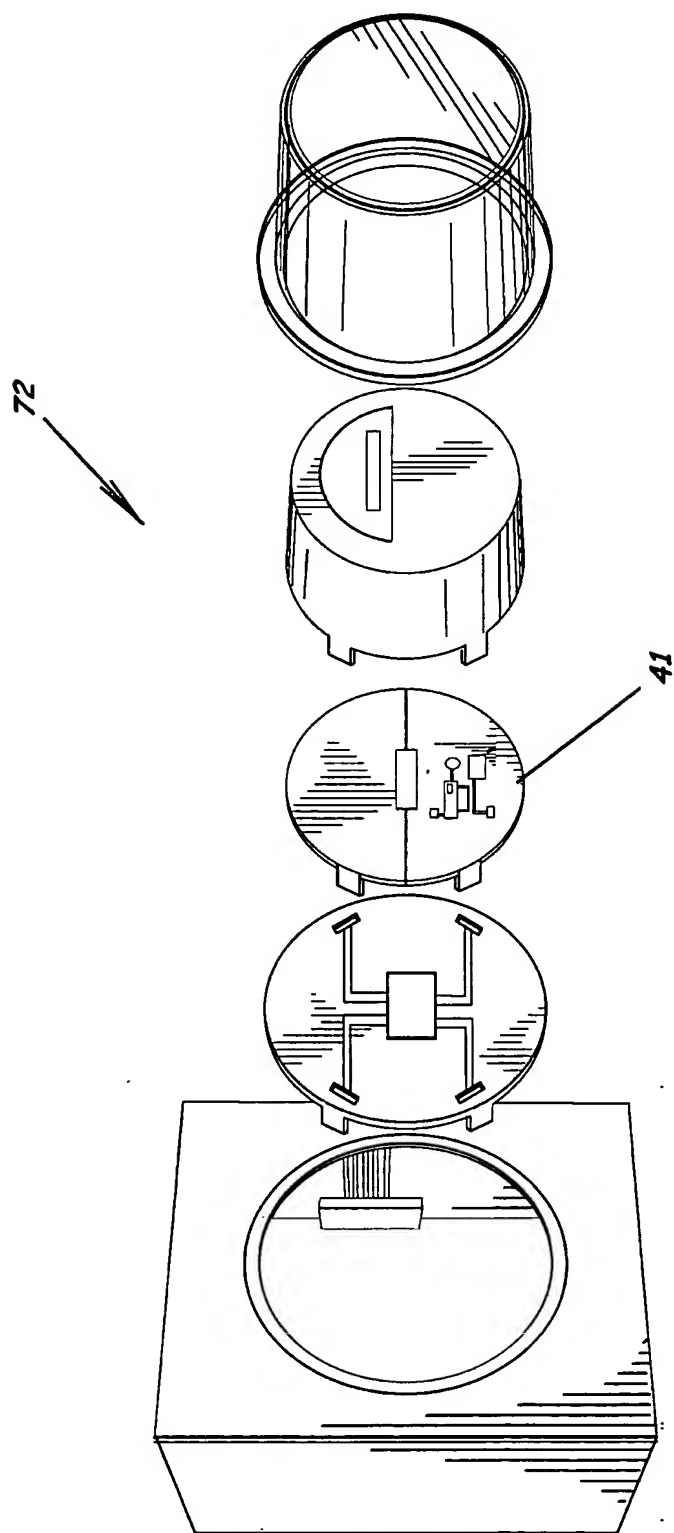


FIG. 12.

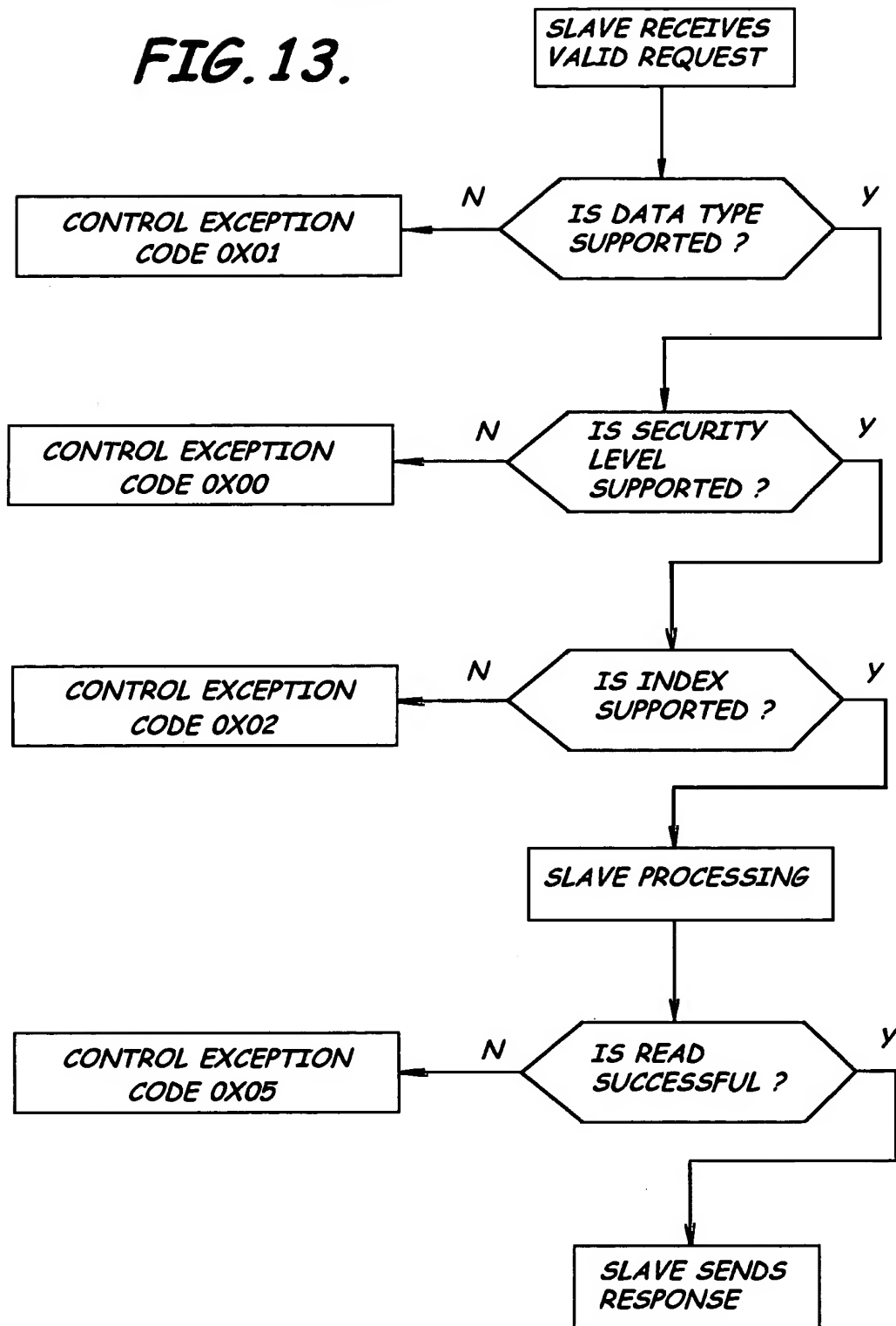
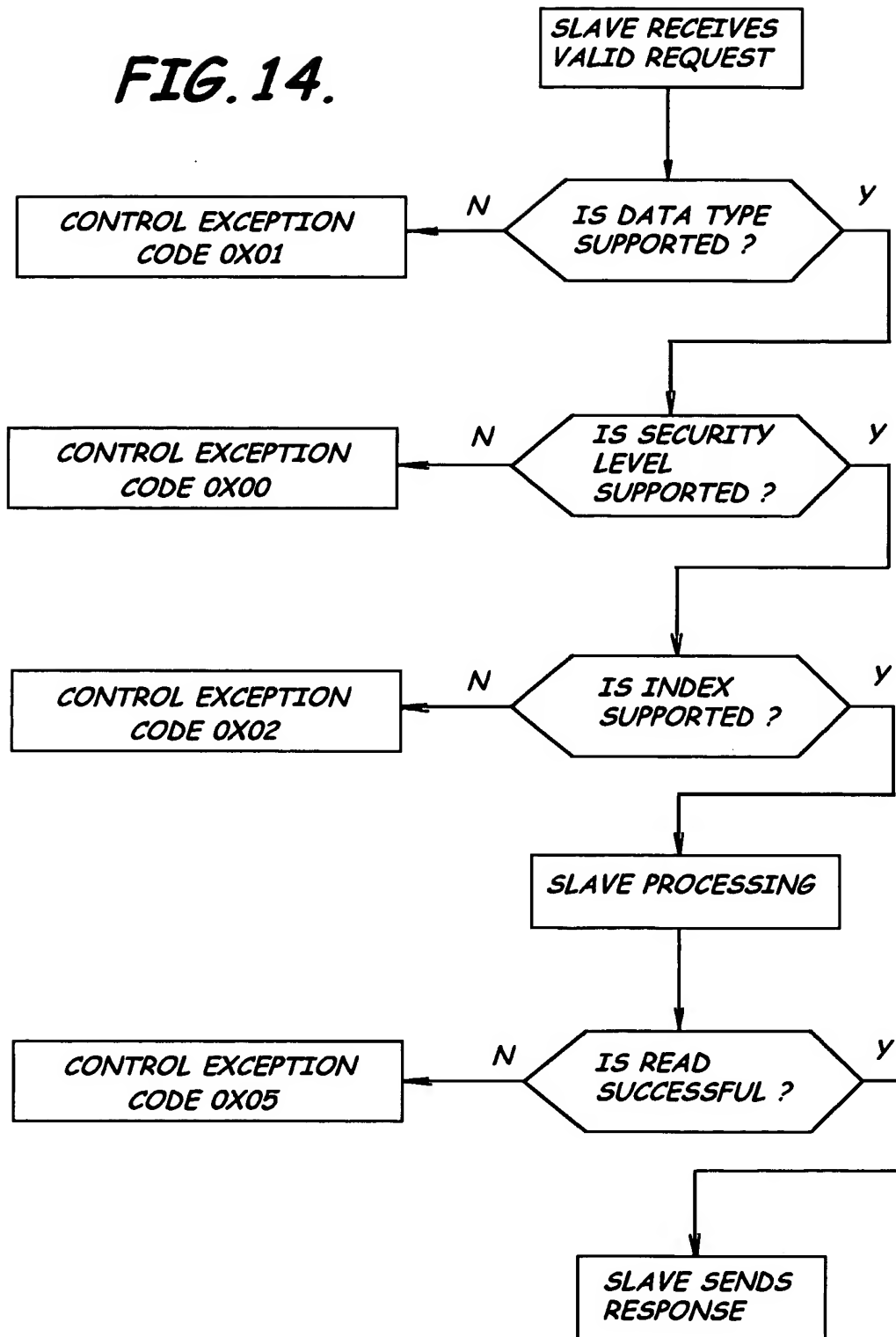
FIG. 13.

FIG. 14.

ETG QNL-RCU-41 Frequency List

RX SETTING	TX SETTING	FREQUENCY
{ 0x3CE521	{ 0x3CEA77	// 909300000 (0x00)
{ 0x3DE7CF	{ 0x3DED25	// 924200000 (0x01)
{ 0x3CB9B9	{ 0x3CBF0F	// 906800000 (0x02)
{ 0x3D21E5	{ 0x3D2739	// 912800000 (0x03)
{ 0x3CBB77	{ 0x3CC0CB	// 906900000 (0x04)
{ 0x3D42E1	{ 0x3D4837	// 914700000 (0x05)
{ 0x3D2E0B	{ 0x3D3361	// 913500000 (0x06)
{ 0x3CBEEF	{ 0x3CC445	// 907100000 (0x07)
{ 0x3E0E01	{ 0x3E1357	// 926400000 (0x08)
{ 0x3D1E6B	{ 0x3D23C1	// 912600000 (0x09)
{ 0x3CF87D	{ 0x3CF8D3	// 910300000 (0x0A)
{ 0x3D1245	{ 0x3D1799	// 911900000 (0x0B)
{ 0x3DCA4B	{ 0x3DCFA1	// 922500000 (0x0C)
{ 0x3D15BD	{ 0x3D1B13	// 912100000 (0x0D)
{ 0x3CF839	{ 0x3CFD8F	// 910400000 (0x0E)
{ 0x3DCF81	{ 0x3DD4D7	// 922800000 (0x0F)
{ 0x3DED05	{ 0x3DF259	// 924500000 (0x10)
{ 0x3CCE8F	{ 0x3CD3E5	// 908000000 (0x11)
{ 0x3D6065	{ 0x3D65B9	// 916400000 (0x12)
{ 0x3C9389	{ 0x3C98DD	// 904600000 (0x13)
{ 0x3CD581	{ 0x3CDAD7	// 908400000 (0x14)
{ 0x3E264F	{ 0x3E2BA5	// 927800000 (0x15)
{ 0x3D8853	{ 0x3D8DA9	// 918700000 (0x16)
{ 0x3DDF21	{ 0x3DE477	// 923700000 (0x17)
{ 0x3D8F46	{ 0x3D9499	// 919100000 (0x18)
{ 0x3CB841	{ 0x3CB897	// 906600000 (0x19)
{ 0x3DA419	{ 0x3DA96F	// 920300000 (0x1A)
{ 0x3D2029	{ 0x3D257D	// 912700000 (0x1B)
{ 0x3CEDCF	{ 0x3CF325	// 909800000 (0x1C)
{ 0x3D0853	{ 0x3D10A9	// 911500000 (0x1D)
{ 0x3CF149	{ 0x3CF69D	// 910000000 (0x1E)
{ 0x3D6C8B	{ 0x3D71E1	// 917100000 (0x1F)
{ 0x3D255D	{ 0x3D2AB3	// 913000000 (0x20)
{ 0x3D5281	{ 0x3D57D7	// 915600000 (0x21)
{ 0x3D1779	{ 0x3D1CCF	// 912200000 (0x22)
{ 0x3DBE25	{ 0x3DC379	// 921800000 (0x23)
{ 0x3CA16B	{ 0x3CA6C1	// 905400000 (0x24)
{ 0x3DE813	{ 0x3DEB69	// 924100000 (0x25)
{ 0x3DEB49	{ 0x3DF09D	// 924400000 (0x26)
{ 0x3D55F9	{ 0x3D5B4F	// 915800000 (0x27)
{ 0x3D50C5	{ 0x3D5619	// 915500000 (0x28)
{ 0x3D02A5	{ 0x3D07F9	// 911000000 (0x29)
{ 0x3E001D	{ 0x3E0573	// 925600000 (0x2A)
{ 0x3C8F13	{ 0x3C7469	// 902500000 (0x2B)
{ 0x3DA0A1	{ 0x3DA5F7	// 920100000 (0x2C)
{ 0x3E22D7	{ 0x3E282B	// 927600000 (0x2D)
{ 0x3D3BEF	{ 0x3D4145	// 914300000 (0x2E)
{ 0x3CC5E1	{ 0x3CCB37	// 907500000 (0x2F)
{ 0x3CDFEB	{ 0x3CE541	// 909000000 (0x30)
{ 0x3D2719	{ 0x3D2C6F	// 913100000 (0x31)
{ 0x3C8C97	{ 0x3C91EB	// 904200000 (0x32)
{ 0x3DD9EB	{ 0x3DDF41	// 923400000 (0x33)
{ 0x3D7DE9	{ 0x3D833D	// 918100000 (0x34)
{ 0x3C7CF7	{ 0x3C824B	// 903300000 (0x35)

FIG. 15A.

ETG QNL-RCU-41 Frequency List (continued)

RX SETTING		TX SETTING		FREQUENCY
{ 0x3C8545	,	0x3C8A99	}	// 904700000 (0x38)
{ 0x3CF8B3	,	0x3D0109	}	// 910600000 (0x37)
{ 0x3E0553	,	0x3E0AA9	}	// 925900000 (0x38)
{ 0x3D8161	,	0x3D86B7	}	// 918300000 (0x39)
{ 0x3D5CEB	,	0x3D8241	}	// 916200000 (0x3A)
{ 0x3CC425	,	0x3CC979	}	// 907400000 (0x3B)
{ 0x3DF76F	,	0x3DFCC5	}	// 925100000 (0x3C)
{ 0x3D9B6B	,	0x3DA0C1	}	// 918800000 (0x3D)
{ 0x3C891D	,	0x3C8E73	}	// 904000000 (0x3E)
{ 0x3DA84F	,	0x3DAEA5	}	// 920800000 (0x4F)
{ 0x3CEA57	,	0x3CEFAB	}	// 908800000 (0x40)
{ 0x3DC88F	,	0x3DCDE5	}	// 922400000 (0x41)
{ 0x3D1401	,	0x3D1957	}	// 912000000 (0x42)
{ 0x3D831D	,	0x3D8873	}	// 918400000 (0x43)
{ 0x3D00E9	,	0x3D063D	}	// 910900000 (0x44)
{ 0x3D36B9	,	0x3D3C0F	}	// 914000000 (0x45)
{ 0x3D6221	,	0x3D6777	}	// 916500000 (0x46)
{ 0x3D97F3	,	0x3D9D49	}	// 919600000 (0x47)
{ 0x3DFCA5	,	0x3E01F9	}	// 925400000 (0x48)
{ 0x3D9637	,	0x3D9B8B	}	// 919500000 (0x49)
{ 0x3DC359	,	0x3DC8AF	}	// 922100000 (0x4A)
{ 0x3D23A1	,	0x3D28F7	}	// 912900000 (0x4B)
{ 0x3D84D9	,	0x3D8A2F	}	// 918500000 (0x4C)
{ 0x3C85A5	,	0x3C8AF9	}	// 903800000 (0x4D)
{ 0x3D4817	,	0x3D4D6B	}	// 915000000 (0x4E)
{ 0x3D061D	,	0x3D0B73	}	// 911200000 (0x4F)
{ 0x3E08C8	,	0x3E0E21	}	// 926100000 (0x50)
{ 0x3DD4B7	,	0x3DDA0B	}	// 923100000 (0x51)
{ 0x3D76F7	,	0x3D7C4B	}	// 917700000 (0x52)
{ 0x3D4126	,	0x3D4678	}	// 914600000 (0x53)
{ 0x3E1BE5	,	0x3E2139	}	// 927200000 (0x54)
{ 0x3E1337	,	0x3E188B	}	// 926700000 (0x55)
{ 0x3D63DD	,	0x3D6933	}	// 916600000 (0x56)
{ 0x3D2C4F	,	0x3D31A5	}	// 913400000 (0x57)
{ 0x3D78B3	,	0x3D7E09	}	// 917800000 (0x58)
{ 0x3D1937	,	0x3D1E8B	}	// 912300000 (0x59)
{ 0x3D9D29	,	0x3DA27D	}	// 919900000 (0x5A)
{ 0x3CDE2F	,	0x3CE385	}	// 908900000 (0x5B)
{ 0x3D0481	,	0x3D09B7	}	// 911100000 (0x5C)
{ 0x3CEC13	,	0x3CF169	}	// 909700000 (0x5D)
{ 0x3D6767	,	0x3D6CAB	}	// 916800000 (0x5E)
{ 0x3DC517	,	0x3DCA8B	}	// 922200000 (0x5F)
{ 0x3CFD6F	,	0x3D02C5	}	// 910700000 (0x60)
{ 0x3D8BCB	,	0x3D9121	}	// 910900000 (0x61)
{ 0x3D9EE5	,	0x3DA439	}	// 920000000 (0x62)
{ 0x3CF8F7	,	0x3CFF4B	}	// 910500000 (0x63)
{ 0x3D2FC9	,	0x3D351D	}	// 913600000 (0x64)
{ 0x3E0397	,	0x3E08EB	}	// 925800000 (0x65)
{ 0x3DFAE9	,	0x3E003D	}	// 925300000 (0x66)
{ 0x3CD04B	,	0x3CD5A1	}	// 908100000 (0x67)
{ 0x3D28D7	,	0x3D2E2B	}	// 913200000 (0x68)
{ 0x3DE0DD	,	0x3DE633	}	// 923800000 (0x69)
{ 0x3D7539	,	0x3D7A8F	}	// 917600000 (0x6A)
{ 0x3DDBA9	,	0x3DE0FD	}	// 923500000 (0x6B)
{ 0x3CC78D	,	0x3CCCF3	}	// 907600000 (0x6C)
{ 0x3D3877	,	0x3D3DCB	}	// 914100000 (0x6D)

FIG. 15B.

ETG QNL-RCU-41 Frequency List (continued)

RX SETTING	TX SETTING	FREQUENCY
{ 0x3D1089	{ 0x3D15DD	// 911800000 (0x8E)
{ 0x3DB8EF	{ 0x3DBE45	// 921500000 (0x8F)
{ 0x3D2A93	{ 0x3D2FE9	// 913300000 (0x70)
{ 0x3C77C1	{ 0x3C7D17	// 903000000 (0x71)
{ 0x3CABD7	{ 0x3CB12B	// 906000000 (0x72)
{ 0x3CDAB7	{ 0x3CE00B	// 908700000 (0x73)
{ 0x3E2119	{ 0x3E266F	// 927500000 (0x74)
{ 0x3E0C45	{ 0x3E1199	// 928300000 (0x75)
{ 0x3D99AF	{ 0x3D9F05	// 919700000 (0x76)
{ 0x3DD82F	{ 0x3DD885	// 923300000 (0x77)
{ 0x3C70CF	{ 0x3C7625	// 902800000 (0x78)
{ 0x3CF305	{ 0x3CF859	// 910100000 (0x79)
{ 0x3CB10B	{ 0x3CB661	// 908300000 (0x7A)
{ 0x3E1F5D	{ 0x3E24B3	// 927400000 (0x7B)
{ 0x3C8D57	{ 0x3C72AB	// 902400000 (0x7C)
{ 0x3D3341	{ 0x3D3897	// 913800000 (0x7D)
{ 0x3D543D	{ 0x3D5993	// 915700000 (0x7E)
{ 0x3DBFE1	{ 0x3DC537	// 921900000 (0x7F)
{ 0x3C7EB3	{ 0x3C8409	// 903400000 (0x80)
{ 0x3DF583	{ 0x3DFB09	// 925000000 (0x81)
{ 0x3DB041	{ 0x3DB597	// 921000000 (0x82)
{ 0x3C7449	{ 0x3C799D	// 902800000 (0x83)
{ 0x3CFF2B	{ 0x3D0481	// 910800000 (0x84)
{ 0x3DFE81	{ 0x3E03B7	// 925500000 (0x85)
{ 0x3CB2C9	{ 0x3CB81D	// 906400000 (0x86)
{ 0x3CEF8B	{ 0x3CF4E1	// 909900000 (0x87)
{ 0x3D7FA5	{ 0x31384179	// 918200000 (0x88)
{ 0x3DBC69	{ 0x3DC1BD	// 921700000 (0x89)
{ 0x3D3185	{ 0x3D36D9	// 913700000 (0x8A)
{ 0x3CD209	{ 0x3CD75D	// 908200000 (0x8B)
{ 0x3DC6D3	{ 0x3DCC29	// 922300000 (0x8C)
{ 0x3E14F3	{ 0x3E1A49	// 926800000 (0x8D)
{ 0x3DE98B	{ 0x3DEEE1	// 924300000 (0x8E)
{ 0x3C806F	{ 0x3C85C5	// 903500000 (0x8F)
{ 0x3CAD83	{ 0x3CB2E9	// 906100000 (0x90)
{ 0x3E280B	{ 0x3E2D61	// 927900000 (0x91)
{ 0x3D0ECB	{ 0x3D1421	// 911700000 (0x92)
{ 0x3DE299	{ 0x3DE7EF	// 923900000 (0x93)
{ 0x3DB733	{ 0x3DBC89	// 921400000 (0x94)
{ 0x3E1A29	{ 0x3E1F7D	// 927100000 (0x95)
{ 0x3DD13D	{ 0x3DD693	// 922800000 (0x96)
{ 0x3D3A33	{ 0x3D3F89	// 914200000 (0x97)
{ 0x3DACC9	{ 0x3DB21D	// 920800000 (0x98)
{ 0x3D3F69	{ 0x3D448D	// 914500000 (0x99)
{ 0x3CA329	{ 0x3CA87D	// 905500000 (0x9A)
{ 0x3D0987	{ 0x3D0EEB	// 911400000 (0x9B)
{ 0x3DEEC1	{ 0x3DF417	// 924600000 (0x9C)
{ 0x3CC859	{ 0x3CCEAF	// 907700000 (0x9D)
{ 0x3C728B	{ 0x3C77E1	// 902700000 (0x9E)
{ 0x3D1AF3	{ 0x3D2049	// 912400000 (0x9F)
{ 0x3DD873	{ 0x3DD8C9	// 923200000 (0xA0)
{ 0x3D6EA9	{ 0x3D63FD	// 916300000 (0xA1)
{ 0x3D7006	{ 0x3D7559	// 917300000 (0xA2)
{ 0x3D488F	{ 0x3D50E5	// 915200000 (0xA3)
{ 0x3CE365	{ 0x3CE8B9	// 908200000 (0xA4)
{ 0x3C9C37	{ 0x3CA18B	// 905100000 (0xA5)

FIG. 15C.

ETG QNL-RCU-41 Frequency List (continued)

RX SETTING	TX SETTING	FREQUENCY
0x3D8599	0x3D8AEF	916700000 (0xA6)
0x3DAB0B	0x3DB061	920700000 (0xA7)
0x3C91CB	0x3C9721	904500000 (0xAB)
0x3DCDC5	0x3DD319	922700000 (0xA9)
0x3DA793	0x3DACE9	920500000 (0xAA)
0x3C900F	0x3C9585	904400000 (0xAB)
0x3C9FAF	0x3CA505	905300000 (0xAC)
0x3D4D4B	0x3D52A1	915300000 (0xAD)
0x3D1CAF	0x3D2205	912500000 (0xAE)
0x3C7B39	0x3C808F	903200000 (0xAF)
0x3D4859	0x3D4BAF	914900000 (0xB0)
0x3DF07D	0x3DF5D3	924700000 (0xB1)
0x3DD065	0x3DE2B9	923600000 (0xB2)
0x3E1179	0x3E16CF	926600000 (0xB3)
0x3DBAAB	0x3DC001	921800000 (0xB4)
0x3DD2F9	0x3DD84F	923000000 (0xB5)
0x3DF3F7	0x3DF94B	924900000 (0xB6)
0x3C8761	0x3C8CB7	903900000 (0xB7)
0x3D6E49	0x3D739D	917200000 (0xB8)
0x3D6913	0x3D6E69	916900000 (0xB9)
0x3E070F	0x3E0C65	926000000 (0xBA)
0x3C8AD9	0x3C902F	904100000 (0xBB)
0x3D3DAB	0x3D4301	914400000 (0xBC)
0x3CDC73	0x3CE1C9	908800000 (0xBD)
0x3D8ACF	0x3D7025	917000000 (0xBE)
0x3DF239	0x3DF78F	924800000 (0xBF)
0x3E2493	0x3E29E9	927700000 (0xC0)
0x3E186B	0x3E1DC1	927000000 (0xC1)
0x3D49D3	0x3D4F29	915100000 (0xC2)
0x3D4F09	0x3D545D	915400000 (0xC3)
0x3CCB17	0x3CD06B	907800000 (0xC4)
0x3D82BD	0x3D9813	919300000 (0xC5)
0x3C9DF3	0x3CA349	905200000 (0xC6)
0x3D07D9	0x3D0D2F	911300000 (0xC7)
0x3D8D89	0x3D92DD	919000000 (0xC8)
0x3DF92B	0x3DFE81	925200000 (0xC9)
0x3C8D33	0x3CC289	907000000 (0xCA)
0x3D737D	0x3D78D3	917500000 (0xCB)
0x3D34FD	0x3D3A53	913900000 (0xCC)
0x3CC0AB	0x3CC801	907200000 (0xCD)
0x3C9701	0x3C9C57	904800000 (0xCE)
0x3CAA19	0x3CAF8F	905800000 (0xCF)
0x3DA5D7	0x3DAB2B	920400000 (0xD0)
0x3CB7FD	0x3CB053	906700000 (0xD1)
0x3CE899	0x3CEDEF	909500000 (0xD2)
0x3CCCD3	0x3CD229	907900000 (0xD3)
0x3E01D9	0x3E072F	925700000 (0xD4)
0x3C7805	0x3C7B69	902900000 (0xD5)
0x3D5973	0x3D5EC9	918000000 (0xD6)
0x3C9A79	0x3C9FCF	905000000 (0xD7)
0x3D71C1	0x3D7717	917400000 (0xD8)
0x3D6B2F	0x3D6085	916100000 (0xD9)
0x3C797D	0x3C7ED3	903100000 (0xDA)
0x3D8697	0x3D8BEB	918600000 (0xDB)
0x3CB485	0x3CB9D9	906500000 (0xDC)
0x3D8101	0x3D9657	919200000 (0xDD)

FIG. 15D.

ETG QNL-RCU-41 Frequency List (continued)

RX SETTING		TX SETTING			FREQUENCY
{ 0x3DE457	,	0x3DE9AB	}	//	92400000 (0xDE)
{ 0x3CA85D	,	0x3CADB3	}	//	90580000 (0xDF)
{ 0x3DB1FD	,	0x3DB753	}	//	92110000 (0xE0)
{ 0x3DC18D	,	0x3DC6F3	}	//	92200000 (0xE1)
{ 0x3E0FBD	,	0x3E1513	}	//	92850000 (0xE2)
{ 0x3D0D0F	,	0x3D1265	}	//	91180000 (0xE3)
{ 0x3D7A6F	,	0x3D7FC5	}	//	91790000 (0xE4)
{ 0x3C83E9	,	0x3C893D	}	//	90370000 (0xE5)
{ 0x3D7C2B	,	0x3D8181	}	//	91800000 (0xE6)
{ 0x3C88BD	,	0x3C9E13	}	//	90490000 (0xE7)
{ 0x3CAF4F	,	0x3CB4A5	}	//	90620000 (0xE8)
{ 0x3DB3B9	,	0x3DB80F	}	//	92120000 (0xE9)
{ 0x3E1DA1	,	0x3E22F7	}	//	92730000 (0xEA)
{ 0x3CA8A1	,	0x3CABF7	}	//	90570000 (0xEB)
{ 0x3CF4C1	,	0x3CFA17	}	//	91020000 (0xEC)
{ 0x3DAE85	,	0x3DB3D9	}	//	92090000 (0xED)
{ 0x3CA4E5	,	0x3CAA39	}	//	90560000 (0xEE)
{ 0x3C8E63	,	0x3C93A9	}	//	90430000 (0xEF)
{ 0x3E0A89	,	0x3E0FDD	}	//	92620000 (0xF0)
{ 0x3D8A0F	,	0x3D8F65	}	//	91880000 (0xF1)
{ 0x3CD73D	,	0x3CDC83	}	//	90850000 (0xF2)
{ 0x3DCC09	,	0x3DD15D	}	//	92260000 (0xF3)
{ 0x3D448D	,	0x3D49F3	}	//	91480000 (0xF4)
{ 0x3CD8F9	,	0x3CDE4F	}	//	90860000 (0xF5)
{ 0x3E16AF	,	0x3E1C05	}	//	92690000 (0xF6)
{ 0x3CC28	,	0x3CC7BD	}	//	90730000 (0xF7)
{ 0x3D9479	,	0x3D99CF	}	//	91940000 (0xF8)
{ 0x3CD3C5	,	0x3CD919	}	//	90830000 (0xF9)
{ 0x3CE1A8	,	0x3CE6FD	}	//	90910000 (0xFA)
{ 0x3DB577	,	0x3DBACB	}	//	92130000 (0xFB)
{ 0x3C822B	,	0x3C8781	}	//	90360000 (0xFC)
{ 0x3D67B7	,	0x3D5D0B	}	//	91590000 (0xFD)
{ 0x3CE8DD	,	0x3CEC33	}	//	90940000 (0xFE)
{ 0x3DA25D	,	0x3DA7B3	}	//	92020000 (0xFF)

FIG. 15E.